

*В системах питания электрофизических установок (источников накачки лазеров, установок высокого напряжения для питания ускорительной техники и т.д.) в качестве электромашинного источника импульсной мощности широко используют индукторно-компрессионные генераторы дискового типа. Такие генераторы позволяют получить частоту генерируемых импульсов 50...400 Гц при напряжении до 50 кВ и выше. В статье приведен принцип действия генератора, результаты исследования его работы на емкостную и активную нагрузку.*

С развитием новых технологий увеличивается число потребителей электроэнергии средней мощности  $\sim 10^4$  Вт, которые необходимо питать высоким переменным напряжением  $\sim 10^4$  В при частоте  $10^2 \dots 10^3$  Гц. Это автономные установки с активно-емкостным характером нагрузки, в том числе: мобильные озонаторные устройства для очистки воды и воздуха, установки по обеззараживанию воды, требующие компактных автономных источников электроэнергии, источники накачки лазеров, установки высокого напряжения для питания ускорительной техники и т.д. Для питания таких установок зачастую применяют электромашинные генераторы индукторного типа дисковой конструкции для обеспечения быстрого заряда конденсаторных батарей. Традиционно питание таких потребителей осуществляется за счет преобразования напряжения и частоты первичных источников электроэнергии, таких как промышленная сеть или автономный электромашинный генератор. Установки отвечают специальным требованиям по длительности импульсов и напряжению.

Генератор представляет собой электрическую машину, сочетающую достоинства компрессионных и индукторных генераторов [1–9]. Основные узлы и детали выполнены из электроизоляционных материалов, что дает возможность не ухудшая удельных энергетических характеристик значительно повысить выходное напряжение.

На рис. 1 представлено полюсное деление электромашинного индукторного генератора дискового типа.



Рис. 1. Полюсное деление генератора

Особенность конструкции состоит в том, что фазы статорной обмотки расположены на неподвижных дисковых модулях, которые зафиксированы в корпусе. Каждый дисковый модуль изолирован. Полюса – 4 с обмотками – 5 каждого модуля ориентированы по одной оси. По торцам машины находятся обмотки возбуждения – 3, расположенные на полюсах – 2. Магнитный поток машины направлен вдоль вала и замыкается по кольцевому магнитопроводу – 1 через соседний полюс. Модули статора и ротора чередуются. Полюса роторных дисков – 6 также ориентированы по одной оси. На рис. 2 изображен диск ротора. Следует отметить, что все вращающиеся части машины пассивные, то есть не имеют обмоток. Магнитопроводы – 2 чередуются с медными экранами – 1. Магнитопровод машины выполнен шихтованным из электротехнической стали.

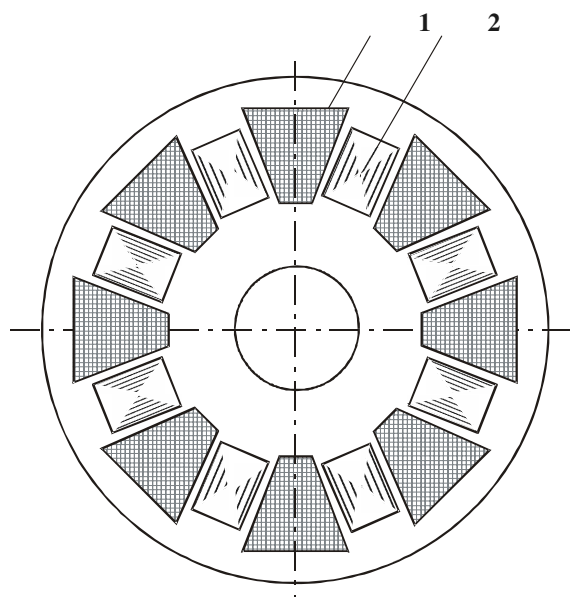


Рис. 2. Диск ротора генератора

Электрическая схема генератора (рис. 3) включает 1 – дроссель, 2 – обмотку возбуждения, 3 – явно выраженные ферромагнитные полюса ротора, 4 – токопроводящие вставки (демпферы), 5 – рабочую обмотку генератора, 6 – коммутирующий аппарат, 7 – нагрузку.

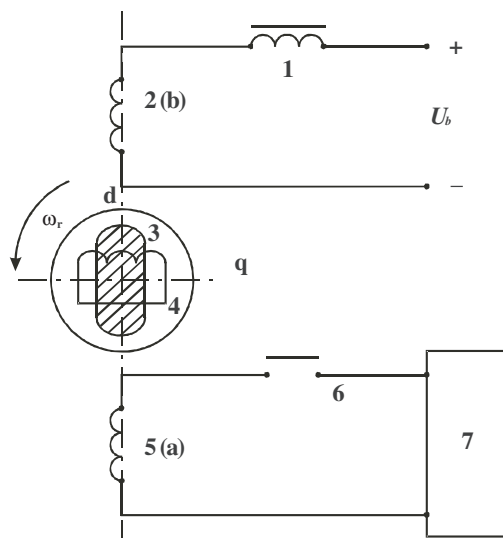


Рис. 3. Электрическая схема генератора

Работа генератора основана на сочетании индукторного принципа создания ЭДС в рабочей обмотке генератора и компрессии магнитного потока при изменении магнитных проводимостей воздушного зазора в аксиальном и радиальном направлениях [9]. Магнитный поток в воздушных зазорах создается обмоткой возбуждения. Переменная ЭДС рабочей обмотки на холостом ходу возникает в результате изменения потокосцепления  $\Psi_a$  а за счет изменения взаимной индуктивности  $M_{ab}$  с обмоткой возбуждения

$$e_a = -\frac{d\Psi_a}{dt} = -i_b \frac{dM_{ab}}{dt}.$$

Изменение  $M_{ab}$  обусловлено значительной разницей проводимостей основному магнитному потоку, созданному магнитодвижущей силой обмотки возбуждения за счет экранирования магнитного потока.

На рис. 4 представлены кривые изменения во времени:  $\Psi_b$  – потокосцепления обмотки возбуждения,  $\Psi_a$  – потокосцепления рабочей обмотки,  $i_b$  – тока обмотки возбуждения,  $i_n$  – тока нагрузки,  $M_{ab}$  – индуктивности взаимной индукции обмотки возбуждения и рабочей обмотки,  $e_a$  – ЭДС рабочей обмотки.

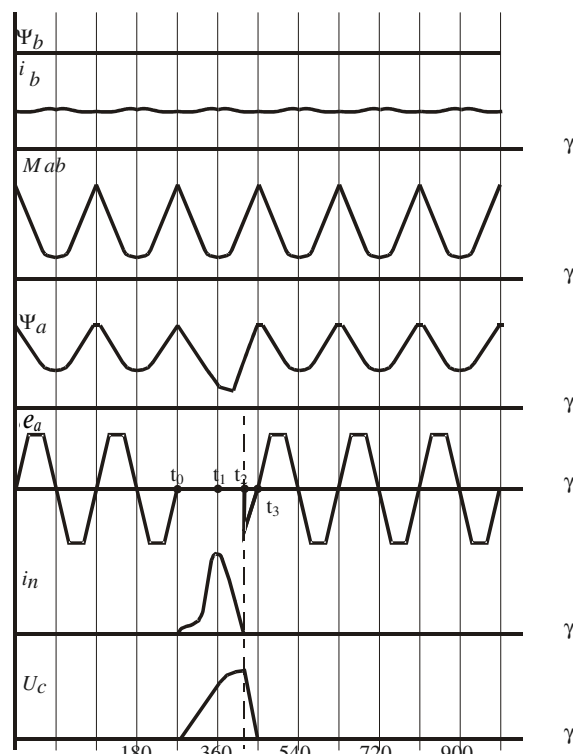


Рис. 4. Кривые изменения  $\Psi_a$ ,  $\Psi_b$  – потокосцепления обмоток статора и возбуждения,  $i_b$ ,  $i_n$  – токи, протекающие по обмотки возбуждения и нагрузки,  $U_c$  – напряжение на емкости,  $M_{ab}$  – индуктивности взаимной индукции обмотки возбуждения и рабочей обмотки,  $e_a$  – ЭДС рабочей обмотки

В исходном состоянии диски ротора генератора вращаются с угловой частотой  $\omega$  относительно дисков статора и дисков системы возбуждения, коммутирующий аппарат – 6 разомкнут. Обмотка возбуждения подключена к источнику постоянного напряжения ( $U_b$ ) и по ней протекает ток ( $i_b$ ), который создает основной магнитный поток возбуждения генератора. В период холостого хода ( $t=t_0$ ) импульсный генератор работает как индукторный синхронный генератор. Соотношение между частотой ЭДС рабочей обмотки  $f=1/T$ , где  $T$  – период ЭДС, частотой вращения статора  $n$  (об/мин) и числом пар полюсов  $p$  имеет вид  $f=2pn/60$ , Гц.

В момент времени  $t=t_0$ , когда потокосцепление рабочей обмотки статора – 5 достигает максимального значения (положение ротора показано на рис. 3) на коммутирующий аппарат – 6 подается управляющий сигнал, и рабочая обмотка генератора

подключается к нагрузке (ёмкостной накопитель энергии). При дальнейшем повороте ротора проводимость основному магнитному потоку уменьшается за счет экранирования. В рабочей обмотке и нагрузке протекает однополярный импульс тока  $i_n$ , достигая максимума при  $t=t_1$ . При переходе тока через нулевое значение в момент  $t=t_2$  коммутирующий аппарат – 6 отключает генератор от нагрузки. Таким образом, происходит заряд ёмкостного накопителя энергии ( $U_c$ ) с последующим его разрядом на нагрузку (рис. 4). В момент времени  $t=t_3$  при подаче управляющего импульса на коммутирующий аппарат – 6 работа генератора будет происходить аналогично. Задавая закон управления коммутатором – 6, и изменяя частоту вращения ротора, можно обеспечить частоту и скажность импульсов в нагрузке.

Для исследования характеристик индукторно-компрессионного генератора использована математическая модель, основанная на численном решении дифференциальных уравнений, составленных в соответствии с электрической схемой замещения:

$$\frac{d\Psi_a}{dt} = -(r_a + r_n)i_a - U_c, \quad \frac{dU_c}{dt} = \frac{1}{C_n}i_a,$$

$$\frac{d\Psi_b}{dt} = U_b - r_b i_b,$$

где  $U_b$ ,  $U_c$  – напряжения на зажимах обмотки возбуждения и ёмкостной составляющей нагрузки;  $\Psi_a$ ,  $\Psi_b$  – потокосцепления обмоток статора и возбуждения;  $i_a$ ,  $i_b$  – токи, протекающие по обмоткам;  $r_a$ ,  $r_b$  – активные сопротивления обмоток.

Система алгебраических уравнений электромагнитных связей обмоток имеет вид

$$\begin{cases} \Psi_a = L_a i_a + M_{ab} i_b \\ \Psi_b = M_{ba} i_a + L_b i_b \end{cases} \quad (1)$$

Индуктивности в ур. (1) являются функциями угла поворота ротора, рис. 5.

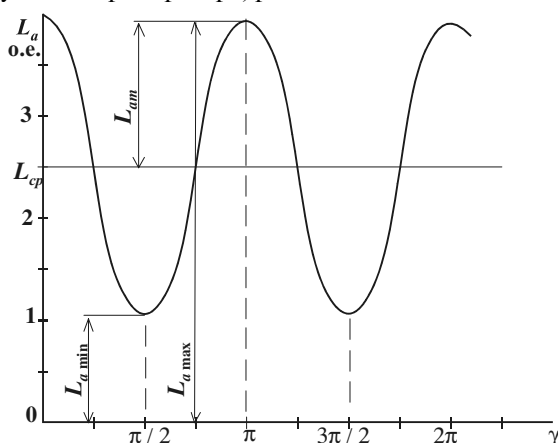


Рис. 5. Зависимость индуктивности рабочей обмотки статора от угла положения ротора

$$L_a = \left( \frac{L_{a \max} + L_{a \min}}{2} \right) + \left( \frac{L_{a \max} - L_{a \min}}{2} \right) \cos(2\gamma),$$

$$L_b = \left( \frac{L_{b \max} + L_{b \min}}{2} \right) + \left( \frac{L_{b \max} - L_{b \min}}{2} \right) \cos(2\gamma),$$

$$M_{ab} = \frac{M_{ab \max} + M_{ab \min}}{2} + \left( \frac{M_{ab \max} - M_{ab \min}}{2} \right) \cos(2\gamma),$$

где  $M_{ab \max}$ ,  $M_{ab \min}$  – максимальная и минимальная взаимная индуктивность обмоток.

При расчете электромагнитных процессов в электромашинном индукторно-компрессионном генераторе дискового типа, принимались следующие основные допущения:

- отсутствие переменного насыщения магнитной цепи;
- отсутствие гистерезиса и вытеснения тока в меди обмоток;
- синусоидальное распределение на полюсном делении магнитодвижущих сил и магнитных индукций;
- независимость индуктивных сопротивлений рассеяния обмоток от положения ротора.

Указанные допущения, идеализируя машину, позволяют изучить в пределах допустимых отклонений картину процессов, протекающих в реальной машине.

На основе математической модели рассчитаны характеристики генератора средней мощности с диаметром активной зоны 0,34 м, числом полюсов  $2p=8$  при работе на ёмкостную нагрузку с постоянной частотой вращения ротора  $n=3000$  об/мин.

Ограничения при расчете соответствуют плотности тока  $J=5...6$  А/мм<sup>2</sup> и напряжению на рабочей обмотке  $U_\phi=40...50$  кВ, которые приняты исходя из класса нагревостойкости  $F$  и электрической прочности изоляции. В качестве критерия для определения согласованной нагрузки принят максимум средней мощности генератора.

Расчеты показали, что максимальная средняя мощность в нагрузке составляет  $\approx 35$  кВт при согласованной ёмкостной нагрузке 60 нФ. Напряжение заряда ёмкости составляет  $\approx 50$  кВ. За один импульс в согласованную нагрузку передается около 80 Дж электрической энергии. Максимальный ток заряда конденсатора составляет 2,25 А. КПД при работе генератора на ёмкостную нагрузку составляет  $\approx 0,75$ .

Из проведенных вычислительных экспериментов при работе индукторно-компрессионного генератора на активно-ёмкостную нагрузку (рис. 6) следует, что максимальное значение активной мощности  $P_{\max} \approx 15$  кВт достигается при активном сопротивлении  $R_n=3$  кОм для  $\cos\varphi=0,8$ , которому соответствуют КПД  $\eta=0,75$  и напряжению на рабочей обмотке  $U_\phi=55$  кВ. Анализ энергетических характеристик генератора показал, что при работе на активно-ёмкостную нагрузку в диапазоне изменения коэффициента мощности  $\cos\varphi=0,2...0,8$  согласованное сопротивление активной нагрузки составляет 2...3 кОм (рис. 6, в), ток нагрузки 2...2,5 А (рис. 6, г).

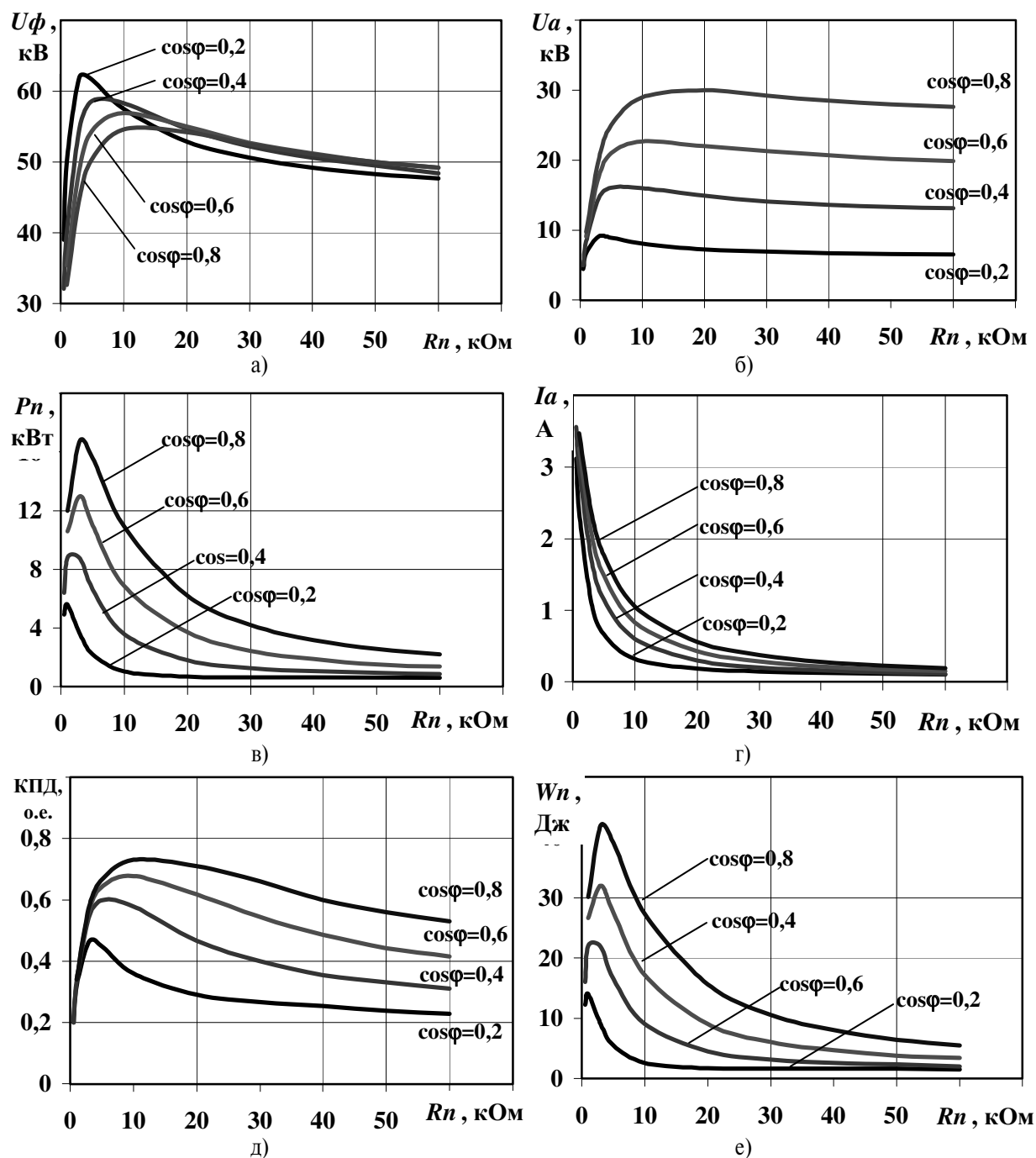


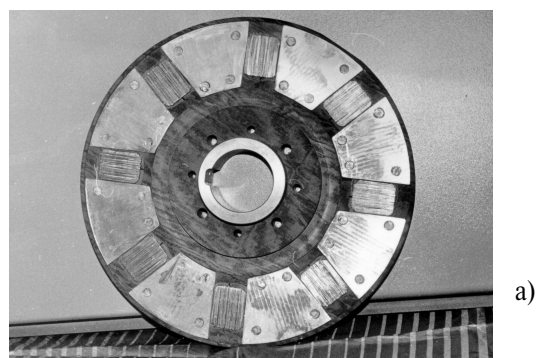
Рис. 6. Зависимости индукторно-компрессионного генератора при работе на активно-емкостную нагрузку

Расчеты показали, что средняя активная мощность генератора лежит в пределах 8...13 кВт (рис. 6, в) при напряжении на активной составляющей 15... 20 кВ (рис. 6, б). КПД при этом достигает  $\approx 0,6$  (рис. 6, д), а импульсная энергия, выделяющаяся в активной нагрузке 35...45 Дж (рис. 6, е) при частоте 100 Гц.

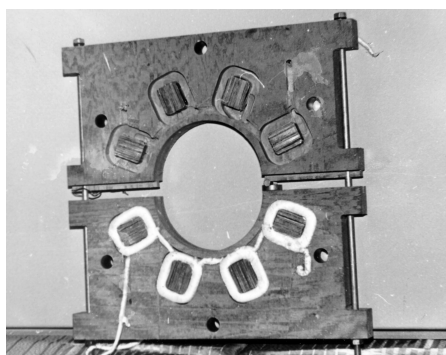
Для проверки результатов теоретических исследований индукторно-компрессионного генератора проведены соответствующие эксперименты. Фраг-

менты статора и ротора экспериментального образца генератора показаны на рис. 7.

Генератор испытывался в частотном режиме. На рис. 8 показан характер изменения индуктивности обмоток генератора в зависимости от углового положения ротора. На рис. 9 представлены осциллограммы напряжения на рабочей обмотке  $E_{\text{кх}}$  (верхний луч) и тока в обмотке возбуждения  $I_b$  (нижний луч) при работе генератора на холостом ходу.



а)



б)

Рис. 7. Активная зона модуля а) ротора и б) статора

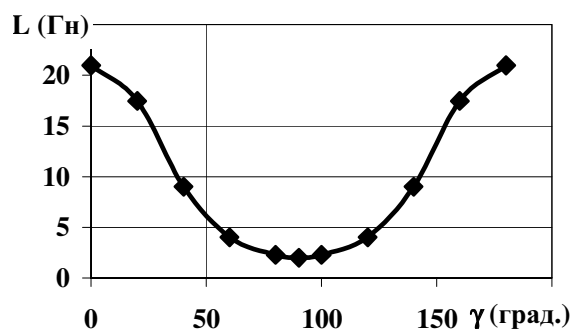


Рис. 8. Экспериментальная кривая изменения индуктивности генератора

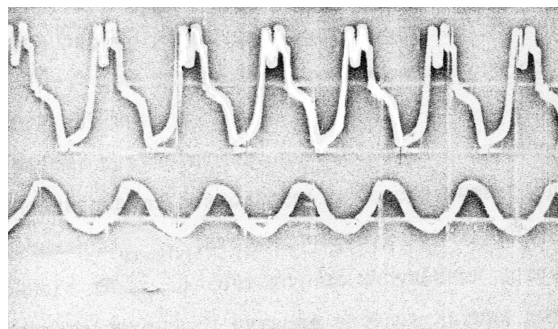


Рис. 9. Осциллограммы ЭДС обмотки статора и тока возбуждения генератора на холостом ходу

На рис. 10 представлены осциллограммы ЭДС рабочей обмотки  $E_a$  (верхний луч), напряжения  $U_c$  и тока  $I_c$  при работе генератора в периодическом режиме с зарядом емкостного накопителя и последующим его разрядом на каждом периоде с частотой 400 Гц.

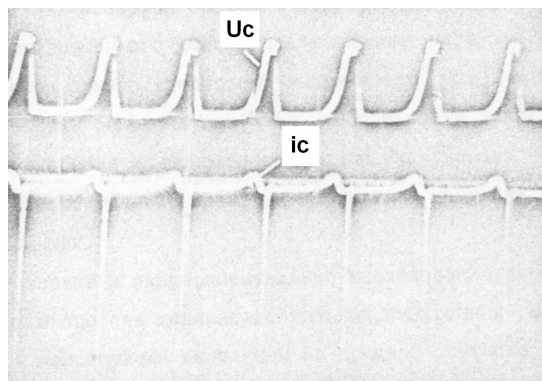
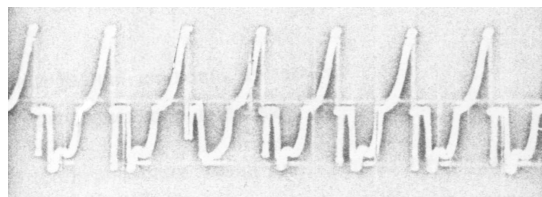


Рис. 10. Осциллограммы переходных процессов

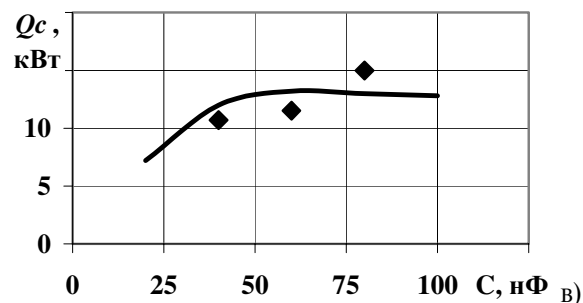
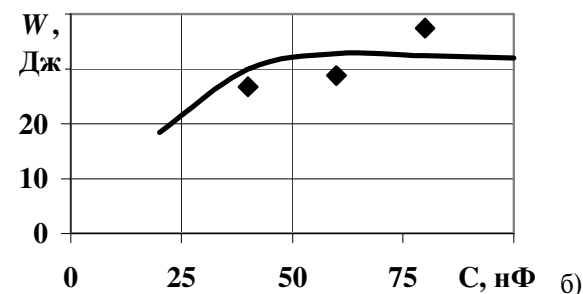
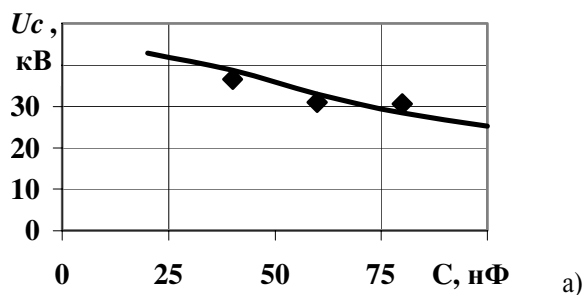


Рис. 11. Энергетические характеристики генератора

На рис. 11 представлены результаты расчета и экспериментальных исследований высоковольтного индукторно-компрессионного генератора при частоте вращения ротора 3000 об/мин и индукции возбуждения  $B_\delta = 0,5$  Тл. Сплошными линиями по-

казаны результаты, полученные расчетным путем, а точками отмечены экспериментальные данные.

Результаты показывают, что при согласованной нагрузке  $C=60 \text{ нФ}$ ,  $X_c \approx 2Z_{\min}$ , где  $X_c=1/\omega C \approx 6,63 \text{ кОм}$ ,  $Z_{\min}=\sqrt{(\omega L_a^{\min})^2+r_a^2} \approx 5 \text{ кОм}$  при  $\omega=2\pi f=2512 \text{ с}^{-1}$ ,  $f=400 \text{ Гц}$  достигается максимальная энергия, передаваемая в нагрузку за один импульс.

Мощность генератора при работе на активно-емкостную нагрузку с  $\cos\varphi=0,4\dots 0,6$  составляет

$P_n \approx 10 \text{ кВт}$ . Масса генератора 150 кг, удельная мощность  $\approx 67 \text{ Вт/кг}$ .

Полученные экспериментальные значения совпадают с расчетными. Это доказывает адекватность математической модели и перспективы использования высоковольтного электромашиного индукторно-компрессионного генератора дискового типа для питания высоковольтных потребителей импульсами электрической энергии при напряжениях 10...50 кВ и частоте 100 Гц.

#### СПИСОК ЛИТЕРАТУРЫ

1. Глебов И.А., Кашарский Э.Г., Рутберг Ф.Г. Синхронные генераторы в электрофизических установках. — Л.: Наука, 1977. — 197 с.
2. Chuchalin A.I., Muravlev I.O., Safyannikov I.A., Rossamahin I.N. High-Voltage Electrical Machine Disk Generator // Intern. Conference on Electrical Machines (ICEM'98). — September 2–4, 1998, Istanbul, Turkey, 1998. — V. 2/3. — P. 814–816.
3. Глебов И.А., Кашарский Э.Г., Рутберг Ф.Г. Синхронные генераторы кратковременного и ударного действия. — Л.: Наука, 1985. — 224 с.
4. Чучалин А.И. Многоазорные электромашиные генераторы дискового типа // Электромашиные машинно-вентильные источники импульсной мощности: Тез. Всес. докл. науч. конф. — Томск, 1987. — С. 91–94.
5. Сипайлов Г.А., Лоос А.В., Чучалин А.И. Электромашиное генерирование импульсных мощностей в автономных режимах. — М.: Энергоатомиздат, 1990. — 169 с.
6. Чучалин А.И. Импульсные генераторы на основе электромашиных преобразователей // Известия вузов. Электромеханика. — 1989. — № 12. — С. 23–33.
7. Сипайлов Г.А., Хорьков К.А. Генераторы ударной мощности. — М.: Энергия, 1979. — 128 с.
8. Chuchalin A.I., Muravlev I.O., Safyannikov I.A. Power sources for technological systems // The 5<sup>th</sup> Korea-Russia Intern. Symp. on Science and Technology (KORUS'01). — Tomsk: TPU, 2001. — P. 228–231.
9. Chuchalin A.I., Muravlev I.O., Safyannikov I.A., Laas A.R. High-voltage recurrent pulse generator MTT'2001 // The 7<sup>th</sup> Intern. Scientific and Practical Conf. of Students, Post-graduates, and Young Scientists. Modern techniques and technology, February 26 — March 2, 2001, Tomsk, Russia, 2001. — P. 95–97.